УДК 541.49: 546.814. 131 + 547.288.3

### Н. В. Шматкова<sup>1</sup>, И. И. Сейфуллина<sup>1</sup>, А. И. Дивакова<sup>1</sup>, А. В. Мазепа<sup>2</sup>

<sup>1</sup>Одесский национальный университет им. И.И. Мечникова химический факультет, кафедра общей химии и полимеров Дворянская, 2, Одесса 65026, Украина. тел.(0482)32-61-70; e-mail: nshmatkova@ ukr.net <sup>2</sup>Физико-химический институт им. А.В. Богатского НАН Украины, Люстдорфская дорога, 86, Одесса, 65080, Украина.

## ТЕМПЛАТНАЯ КОНДЕНСАЦИЯ В СИСТЕМАХ ТИПА «ГИДРАЗИДЫ — $\mathrm{SnCl_4}$ — АЛЬДЕГИДЫ — $\mathrm{CH_3CN}$ »

Изучены продукты взаимодействия в системах «гидразиды 2-R-бензойных, 3-R-2-нафтойных (R=H, OH) —  $\text{SnCl}_4$  — R'- бензойные альдегиды (R'=H,  $4\text{-N}(\text{CH}_3)_2$ ) —  $\text{CH}_3\text{CN}$ » и установлено, что в случае (R, R'=H) выделяются гидразоны (HL), а во всех остальных — комплексы-неэлектролиты состава [SnCl $_4$ (HL)]·n CH $_3$ CN (n = 1 (I), 2 (II); R = OH, R'= H) и [SnCl $_4$ (L·H)]·n CH $_3$ CN (n = 0, 1; R = H, OH, R'=  $4\text{-N}(\text{CH}_3)_2$  (III-VI). В комплексах реализуется бидентатная О $_{\text{(C=O/C-O)}}$ , N( $_{\text{CH=N}}$ ) — координация кетонной (R' = H) или енольной, протонированной по третичному атому азота альдегидного фрагмента (R' =  $4\text{-N}(\text{CH}_3)_2$ ) формы лиганда. Деструкция I-VI начинается дегидрохлорированием, однако в случае I, II удаление хлора протекает в одну стадию в интервале 230-310 °C, а в случае III-VI — в две и при более высоких температурах (280-310 и 320-405 °C). Исследовано поведение I - VI под действием электронного удара.

**Ключевые слова:** кислота Льюиса (SnCl $_{4}$ ), гидразиды, гидразоны, темплатная конденсация, координационные соединения.

Известно, что комплексы металлов с гидразонами можно синтезировать разными методами: взаимодействием солей металлов с предварительно полученными конденсацией гидразидов и альдегидов гидразонами (а); с использованием в качестве исходных соответствующих комплексов металлов с гидразидами (b) либо альдегидами (с), а также темплатной конденсацией в системах соль металла гидразид – альдегид (d) [1, 2]. Выбор метода в каждом отдельном случае зависит от свойств изучаемых объектов. Ранее нами было исследовано взаимодействие SnCl<sub>4</sub> с бензоил-(2-гидроксибензоил-)гидразонами бензойного (HBb, 2-OH-HBb) и p-N,N-диметиламинобензойного (HBdb, 2-OH-HBdb) альдегидов в ацетонитриле и установлено, что комплексы образуются только при наличии заместителей в гидразидном или (и) в альдегидном фрагментах их молекул [3]: [SnCl<sub>4</sub>(2-OH-HBb)] 1,5CH,CN (1), [SnCl<sub>4</sub>(Bdb·H)](2), [SnCl<sub>4</sub>(2-OH-Bdb·H)] (3). Показано что гидразоны координируются к SnCl, бидентатно через атом кислорода карбонильной (1) или оксиазинной (2, 3) групп и азота азометиновой. Совершенствование методик синтеза координационных соединений олова(IV) с указанными гидразонами особенно важно в плане создания веществ, характеризующихся синергизмом действия биологически активных составляющих [4-6]. Поэтому, в продолжение описанных выше исследований нами для синтеза комплексов олова (IV) с гидразонами был выбран метод темплатной конденсации, не требующий предварительного синтеза гидразонов.

Цель данной работы: выделение продуктов, образующихся в системах «гидразиды 2-R-бензойных, 3-R-2-нафтойных (R=H, OH) кислот —  $SnCl_4$  — бензойный и 4-диметиламинобензойный альдегиды —  $CH_3CN$ » и сравнение их с комплексами (1-3), а также установление влияния наличия и природы заместителя в ароматическом кольце гидразида и альдегида на состав, строение и выход продуктов темплатной конденсации.

### Экспериментальная часть

В работе использованы  $SnCl_4$  «осч» ( $\rho$ =2,03 г/мл), гидразиды 2-R-бензойных (R = H, OH), 3-R-2-нафтойных (R=H, OH) кислот«хч», бензойный и 4-диметиламинобензойный альдегиды «ч», органические растворители «осч».

Синтез [SnCl<sub>4</sub>(2-OH-HBb)]·1.5CH<sub>3</sub>CN (I), [SnCl<sub>4</sub>(3-OH-HLb)]·2CH<sub>3</sub>CN(II), [SnCl<sub>4</sub>(Bdb·H)] (III), [SnCl<sub>4</sub>Ldb·H] (IV) [SnCl<sub>4</sub>(2-OH-Bdb·H)] (V) и [SnCl<sub>4</sub>(3-OH-Ldb·H)] · CH<sub>3</sub>CN (VI) проводили по следующей методике: к горячим взвесям, содержащим  $3\cdot10^{-3}$  моль гидразидов в 10 мл ацетонитрила прибавлялии  $3\cdot10^{-3}$  моль SnCl<sub>4</sub>. Полученные светло-желтые растворы выдерживали при 50-55 °C (5 мин.) до прекращения выделения из них белого дыма, а затем прибавляли эквимолярное количество бензальдегида или диметиламинобензальдегида (насыщенный при данной температуре раствор). Образующиеся растворы выдерживали при 50 °C до начала кристаллизации (10-20 мин.), а затем оставляли при 20 °C для полноты осаждения. Полученные осадки отделяли, промывали эфиром (I, II после перекристаллизации из смеси CH<sub>3</sub>CN : CH<sub>3</sub>OH = 3:1), сушили при 80 °C до постоянной массы и анализировали. Выход комплексов и результаты элементного анализа приведены в табл. 1.

Таблица 1. Результаты химического анализа и выход комплексов I-VI

№	Найдено, %					Брутто-формула	Вычислено, %					Выход,%
	Sn	N	C	Н	Cl	Брутто-формула	Sn	N	C	Н	Cl	выход, 70
I	20,94	8,82	36,25	3,08	24,98	${\rm C}_{14}{\rm H}_{13}{\rm N}_2{\rm O}_2{\rm SnCl}_4\cdot\\ {\rm 1.5CH}_3{\rm CN}$	21,08	8,70	36,22	3,11	25,21	50,6
II	19,02	8,90	41,77	3,12	22,45	$\begin{array}{c} \mathrm{C_{18}H_{14}N_2O_2SnCl_4} \cdot \\ \mathrm{2CH_3CN} \end{array}$	18,76	8,85	41,73	3,16	22,44	55,6
III	22,34	7,86	36,41	3,18	26,89	C <sub>16</sub> H <sub>17</sub> N <sub>3</sub> OSnCl <sub>4</sub>	22,49	7,96	36,38	3,22	26,91	91,4
IV	20,23	7,12	41,28	3,30	24,48	$\mathrm{C_{20}H_{19}N_{3}OSnCl_{4}}$	20,55	7,27	41,54	3,29	24,58	93,0
V	21,70	7,72	35,40	2,93	25,84	$\mathrm{C_{16}H_{16}N_3O_2SnCl_4}$	21,87	7,74	35,38	2,95	26,17	86,3
VI	18,64	8,64	41,62	3,45	21,98	$\substack{C_{20}H_{19}N_3O_2SnCl_4\cdot\\CH_3CN}$	18,70	8,82	41,59	3,47	22,37	92,6

Элементный анализ выполняли на полуавтоматическом СНN-анализаторе, содержание хлора определяли меркурометрически [7], олова — методом атомно-эмиссионной спектроскопии с индуктивно связанной плазмой (ICP) на приборе «Optima — 2100 DV» фирмы «Perkin — Elmer». Сольватный состав в I, II, VI

подтверждали их изотермическим закаливанием при  $t_{max}$  первого эндо-эффекта по ДТА на их термогравиграммах (160 °C (I), 220 °C(II) и 240 °C(VI)) с последующим элементным анализом продуктов закалки. Убыль массы практически совпала с рассчитанной  $\Delta m$  по ТГ соответствующих эффектов – 10,9% (I), 12,5% (II), 7,2% (VI), а содержание хлора в образовавшихся продуктах ( $I_{3ak}$ , 28,41%,  $II_{3ak}$ , - 25,81 % и VI $_{3ak}$ , - 23,82 %), по сравнению с исходными соединениями (табл. 1), соответственно увеличивалось и практически совпадало с вычисленным для несольватированных комплексов.

Молярную электропроводность ( $\lambda$ ) 0,001 M растворов комплексов в DMF (I-VI) и нитробензоле измеряли на кондуктометре «Эксперт-002» при 25 °C. Тип электролита определяли в соответствии с [8]. Термическую устойчивость соединений изучали в платиновых тиглях на дериватографе Q-1500 D Paulik-Paulik-Erdey в воздушной среде в интервале 20-1000 °C (скорость нагревания — 10 град/мин, чувствительность ДТА и ДТГ — 1/5 максимальной, эталон —  $Al_2O_3$ ). ИК-спектры (4000-400 см<sup>-1</sup>), таблетированных с КВг, записывали на спектрофотометре Shimadzu FTIR-8400S, а масс-спектры — на приборе MX-1321 с прямым вводом пробы в область ионизации при ионизирующем напряжении 70 эВ, температура источника 220°C.

### Обсуждение результатов

Исследование продуктов, образующихся в системах «гидразиды 2-R-бензойных, 3-R-2-нафтойных (R=H, OH) кислот –  $SnCl_4-R$ '- бензойные альдегиды ( $R'=H, 4-N(CH_3)_2$ ) –  $CH_3CN$ » показало, что в случае R=OH, R'=H и  $R=H, OH, R'=4-N(CH_3)_2$ ) независимо от мольного соотношения исходных компонентов и порядка их добавления образуются комплексы олова с продуктами конденсации аминогруппы гидразида с кислородом карбонила бенз- и диметиламинобензальдегидов. В случае отсутствия заместителей одновременно в ароматических кольцах гидразида и альдегида из реакционной смеси кристаллизуются соответствующие бензоил- и 2-нафтоилгидразоны бензальдегида (%  $Sn=0, \% Cl=0; t_{n.n.}=210$  и  $170^{\circ}C$  соответственно), выход которых составляет 60-65 %.

Использование в качестве исходных гидроксозамещённых гидразидов и бензальдегида приводит к образованию комплексов с мольным соотношением Sn: гидразон: Cl = 1:1:4 -  $[SnCl_4(2\text{-OH-HBb})] \cdot 1,5CH_3CN$  (I),  $[SnCl_4(3\text{-OH-HLb})] \cdot 2CH_3CN$ (II), где 2-OH-HBb и 3-OH-HLb – гидрокси(бензоил-) нафтоилгидразоны бензальдегида. Выход I, II составляет 50-55%, а в качестве побочного продукта образуются гидразоны, для очистки от которых потребовалась перекристаллизация.

При замене альдегида на диметиламинобензойный независимо от гидразида (R = H, OH) образуются комплексы с гидразонами, мольное соотношение в которых сохраняется таким, как и в I, II:  $[SnCl_4(Bdb\cdot H)]$  (III),  $[SnCl_4(Ldb\cdot H)]$  (IV),  $[SnCl_4(2-OH-Bdb\cdot H)]$  (V),  $[SnCl_4(3-OH-Ldb\cdot H)]\cdot CH_3CN$  (VI), где HBdb, HLdb, 2-OH-HBdb, 3-OH-HLdb — бензоил-, 2-нафтоил-, 2-гидрокси-бензоил- и 3-гидрокси-2-нафтоилгидразоны диметиламинобензальдегида соответственно. Следует отметить, что выход комплексов III — VI по сравнению с I, II увеличился вплоть до 86-93 %.

Присутствие в комплексах в качестве лиганда соответствующих гидразонов было доказано методом масс-спектрометрии. В масс-спектрах I, II

присутствуют пики ионов с m/z 36[HCl] $^+$ , 225[SnCl $_3$ ] $^+$  и соответствующего гидразона 239[2-OH-HBb-1] $^+$ , 281[2-OH-HLb-1] $^+$ , а в III-VI  $_-$  36[HCl] $^+$  и комплексных частиц [M-HCl] $^+$ ([SnCl $_3$ (L)] $^+$ , где (L)  $_-$ соответствующий гидразон). Среди оловосодержащих частиц наибольшей интенсивностью обладает пик для изотопа олова  $^{120}$ Sn. Такое различие в масс-спектрах комплексов (I, II) и (III-VI) может свидетельствовать о различном способе связывания гидразонов с атомом олова в них.

Наличие четырёх ионов хлора в составе внутренней координационной сферы комплексов I-VI было установлено на основании изучения их поведения в ДМФА, а (I-III, V) дополнительно в нитробензоле. В растворе ДМФА электропроводность комплексов постепенно возрастает (значения их  $\lambda$  сначала находятся в пределах 52-57  $\text{Ом}^{-1} \cdot \text{см}^2 \cdot \text{моль}^{-1}$ , а затем в течение 24-48 ч достигают значений 62,0-82,6  $\text{Ом}^{-1} \cdot \text{см}^2 \cdot \text{моль}^{-1}$ , характерных для двухионных электролитов [10]). Комплексы (I-III, V) являются неэлектролитами в нитробензоле ( $\lambda$  = 5,6-6,0  $\text{Ом}^{-1} \cdot \text{см}^2 \cdot \text{моль}^{-1}$ ). Все комплексы хорошо растворимы в ДМФА, ДМСО, средне — в метаноле и ацетонитриле (II, IV, VI), нитробензоле (I-III, V) и практически нерастворимы в диэтиловом эфире и хлороформе.

Термораспад комплекса I и десольватированного II начинается при 230 °C и проходит в две стадии. Из них первая в интервале 230-310 (260 $\downarrow$ , 280 $\uparrow$ ) (I) и 230-400 °C (280 $\downarrow$ ↑) (II) сопровождается убылью массы по ТГ 28,0 (I) и 23,3% (II) и обусловлена удалением хлора, на что указывает его отсутствие в продукте закалки I при 300 °C. На второй (320-700 (620 $\uparrow$ )(I) и 400-850 °C (750 $\uparrow$ )(II) происходит окислительная термодеструкция со значительной убылью массы (46,0 - 46,6%) с образованием SnO $_2$ , масса которого меньше теоретически вычисленной на 11,7 (I) и 9,2 % (II). Вероятно, процесс термолиза частично сопровождается образованием летучих оловосодержащих частиц. В качестве примера на рис. 1 приведена термогравиграмма (I).

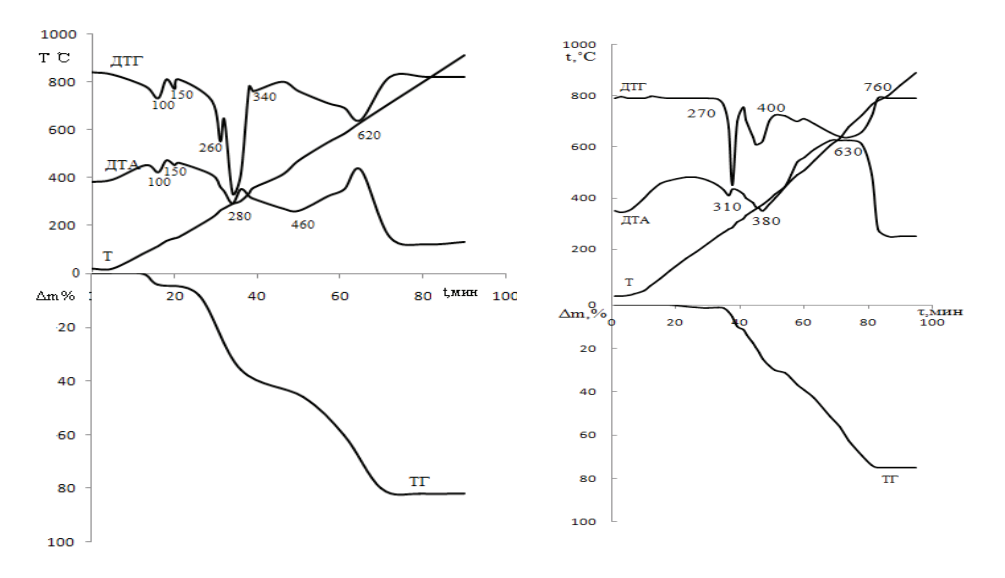


Рис. 1. Термогравиграмма (I).

Рис. 2. Термогравиграмма (V).

Термораспад III-V и десольватированного VI также начинается удалением хлора, однако, в отличие от I, II, при более высокой температуре и в две стадии: первая в интервале 290-310(300 $\downarrow$ ) (III, IV), 270-320(310 $\downarrow$ ) (V), 260-310(310 $\downarrow$ ) °C (VI) с убылью массы по ТГ 13,0, 18,0, 12,0, 13,3 % и вторая — 310-380 (375 $\uparrow$ )(III), 310-400(380 $\uparrow$ ) (IV), 320-400 (380 $\uparrow$ ) (V), 310-530 (390 $\uparrow$ ) °C (VI) с убылью массы по ТГ 16,0-17,0 (III-V), 23,3% (VI). Это было доказано определением хлора в продукте закалки (V) при 380 °C, на термогравиграмме которого присутствовал термически стабильный участок в узком интервале температур 400-420 °C. Заканчивается термолиз при 760-770 °C после интенсивного экзо-эффекта третьей стадии (630 (III-V), 620 °C(VI)) с убылью массы по ТГ (46-49%) и образованием SnO $_2$  Следует отметить, что масса его только в случае III меньше теоретически вычисленной на 10,6%, а для остальных комплексов — практически соответствует (2,0-3,7%). В качестве примера на рис. 2 приведена термогравиграмма (V).

Способ координации гидразонов в комплексах доказывали методом ИК спектроскопии сравнением спектров I-VI и ранее полученных комплексов (1-3) [3] с использованием литературы [9].

В спектрах I, II в высокочастотной области наблюдаются полосы поглощения при 3460-3400, 3190-3152 см $^{-1}$  и 3073-3041 см $^{-1}$ , которые можно идентифицировать как v(OH), v(NH) и v(CH) кольца. В области 1620-1530 см $^{-1}$  наблюдается пять полос при 1630-1620 v(C=O), 1615-1607 v(CH=N), 1603-1600 v(C=C), 1549 и 1528-1520 см $^{-1}$   $\{\sigma(NH)$ +  $v(NCO)\}$ . С учётом того, что в спектре комплекса (1) указанные полосы наблюдались в тех же областях спектра, а v(NH), v(C=O), v(CH=N) и  $\{\sigma(NH)$ +  $v(NCO)\}$  были понижены по сравнению с 2-гидроксибензоилгидразоном бензальдегида (3180, 1636, 1618, 1560 см $^{-1}$ ), в комплексах I, II сохраняется кетонная форма лиганда, которая связывается с атомом олова через атомы кислорода карбонильной и азота азометиновой групп. Это находит подтверждение в наличии частот  $v(Sn\leftarrow O)$  570-565 см $^{-1}$  и  $v(Sn\leftarrow N)$  460-453 см $^{-1}$ . Следует отметить, что также, как и в (1), в спектрах I, II сохраняется приведенная выше частота валентных колебаний гидроксогруппы гидразидного фрагмента, что свидетельствует об отсутствии её координации с атомом олова. Таким образом реализуется координационный узел SnCl<sub>4</sub>ON.

В отличие от I, II в ИК спектрах III, IV в высокочастотной области спектров отсутствуют полосы v(NH) и наблюдаются только v(CH) кольца при 3043-3030 см $^{-1}$ . Уменьшение числа полос наблюдается и в области 1620-1530 cm<sup>-1</sup>: присутствуют только три полосы поглощения при 1621-1618, 1608-1606 и 1586 см<sup>-1</sup>, первую из которых можно идентифицировать как  $\nu_{\text{(CH=N)}}$ , а остальные как  $\nu(\text{C=C})$ . Этот факт, а также сходство спектров III, IV и комплекса (2), свидетельствует о том, что при темплатной конденсации произошло смещение амидной таутомерной формы лиганда в сторону имидольной с последующим её депротонированием в результате образования связи Sn-O. Замыкание цикла в III, IV происходит через азометиновый атом азота. Подтверждается это присутствием в их спектрах частот, ответственных за колебания связей Sn-O(550-540 см<sup>-1</sup>) и Sn←N (457-453 см<sup>-1</sup>). Спектры V, VI в области колебаний основных функциональных групп обнотипны с III, IV за исключением наличия в высокочастотной области частот v(OH) гидразидного фрагмента, не участвующей в связывании с оловом (аналогично со спектром комплекса (3): v(OH) = 3460-3410 H v(CH) = 3065-3033, v(CH=N) = 1625-1620, v(C=C) = 1608-1605и 1586 cm<sup>-1</sup>)

С учётом данного способа связывания, результатов элементного анализа и измерения электропроводности в комплексах III-VI на координационном узле олова (SnCl<sub>4</sub>ON) формируется отрицательный заряд. Так как в молекулах лигандов присутствует высокоосновный атом азота (-N(CH<sub>3</sub>)<sub>2</sub>), можно предположить, что за счёт его протонирования происходит компенсация отрицательного заряда также, как это было установлено для комплексов (2,3).

Таким образом, в I-VI реализуется одинаковый координационный узел  $SnCl_4ON$ , но с различными таутомерными формами O,N- координированных гидразонов: в (I, II) — амидная, а в (III-VI) — имидная. При этом в (III-VI) на координационном узле олова появляется отрицательный заряд, компенсация которого происходит за счёт протонирования вакантного третичного атома азома диметиламиногруппы альдегидного фрагмента. Результаты темплатной конденсации можно представить следующей схемой:

Из неё видно, что на состав образующихся продуктов зависит от наличия заместителей в ароматическом кольце гидразида или альдегида. По работе можно сделать следующие выводы:

- 1. Наличие электронодонорной (<sup>+</sup>М-эффект) ОН группы в гидразидах гидроксизамещённых кислот, по сравнению с незамещёнными, способствует темплатной конденсации с бензальдегидом и образованию хелатных комплексов с гидразонами (I, II), стабильность которых возрастает благодаря увеличению электронной плотности на атоме кислорода карбонила и образованию внутримолекулярной водородной связи, подобно описанному в [10].
- 2. Введение диметиламинной группы, проявляющей более сильный, по сравнению с 2-OH-, <sup>+</sup>М-эффект, в бензальдегидный фрагмент приводит к перераспределению электронной плотности в молекулах и образованию независимо от наличия гидроксо-группы в ароматическом кольце гидразида комплексов (III-VI). Видимо решающим фактором при этом является изменение таутомерной формы лиганда с кетонной на енольную с компенсацией образующегося при этом отрицательного заряда на олове за счет протонирования атома азота (HN<sup>+</sup>(CH<sub>2</sub>)<sub>2</sub>).

3. Синтез комплексов с гидразонами темплатной конденсацией является более удобным и характеризуется высоким выходом 85-93%, по сравнению с системами «гидразоны – SnCl<sub>4</sub> – CH<sub>3</sub>CN» только в случае образования комплексов с енольной формой лиганда, т.е. при наличии вакантного донорного атома азота в ароматическом кольце. Выход комплексов с кетонной формой лиганда гораздо ниже (50-52 %), видимо, за счёт протекания побочных реакций. Их синтезировать целесообразно из полученных предварительно гидразонов и SnCl<sub>4</sub>.

#### СПИСОК ЛИТЕРАТУРЫ

- 1. *Гарновский А.Д., Васильченко И.С., Гарновский Д.А.* Современные аспекты синтеза металлокомплексов. Основные лиганды и методы. – Ростов на/Д.: ЛаПО, 2000. 355с.
- 2. *Кукушкин Ю.Н.* Реакционная способность координационных соединений. Л.: Химия, 1987. 288 с
- 3. Шматкова Н.В., Сейфуллина И.И., Согомонян В.Г., Самбурский С.Э. Продукты взаимодействия SnCl<sub>4</sub> с R-бензоилгидразонами бенз-(p-N,N-диметиламинобенз)альдегидов в ацетонитриле // Вісник ОНУ. Хімія. 2010. Т. 15, №.3. С.77-84.
- 4. Wajid Rehman, Amin Badshah, Musa Kaleem Baloch, Saqib Ali. Synthesis, characterization and biological screening of Tri-benzyl tin(IV) complexes of Some Schiff Bases // J. of the Chinese Chem. Soc. 2004. Vol. 51. P. 929-934.
- Sevim Rollas, Ş. Guniz Kucukguzel. Biological Activities of Hydrazone Derivatives // Molecules. 2007. – Vol. 12. – P. 1910-1939.
- 6. Зінченко О.Ю., Шматкова Н.В., Філіпова Т.О., Сейфулліна І.Й., Подуст В.С. Антибактеріальна активність ізонікотиноїлгідразону саліцилового альдегіду та його комплексів // Мікробіологія і біотехнологія. 2009. №1(5). С. 44-55.
- 7. Ключников Н.Г. Руководство по неорганическому синтезу. М.: Химия, 1965. 104 с.
- 8. *Geary W.J.* The use of conductivity measurements in organic solvents for the characterisation of coordination compounds // Coord. Chem. Rev. − 1971. − № 7. − P.81-122.
- 9. *Наканиси К.* Инфракрасные спектры и строение органических соединений. М.: Мир, 1965. 216 с.
- 10. Narang K.K., Aggarwal A. Salicylaldehyde salicylhydrazone complexes of some transition metal ions // Inorg. Chim. Acta. 1974. Vol.9. P.137-148.

Стаття надійшла до редакції 10.01.12

### Н. В. Шматкова<sup>1</sup>, І. Й. Сейфулліна<sup>1</sup>, А. І. Дивакова<sup>1</sup>, О. В. Мазепа<sup>2</sup>

<sup>1</sup>Одеський національний університет ім. І.І. Мечникова, кімічний факультет, кафедра загальної хімії та полімерів, вул. Дворянська, 2, 65026, Одеса, Украина <sup>2</sup>Фізико-хімічний інститут ім. О.В. Богатського, Люстдорфська дор. 86, 65080, Одеса, Україна

# ТЕМПЛАТНА КОНДЕНСАЦІЯ В СИСТЕМАХ ТИПУ «ГІДРАЗИДИ — $\mathrm{SnCl_4}$ — АЛЬДЕГІДИ — $\mathrm{CH_3CN}$ »

#### Резюме

Вивчено продукти взаємодії в системах «гідразиди 2-R-бензойних, 3-R-2-нафтойних (R = H, OH) кислот —  $SnCl_4 - R$ '- бензойні альдегіди (R'=H, 4-N( $CH_1$ ),

— СН $_3$ СN» і встановлено, що в випадку (R, R' = H) виділяються гідразони (HL), а у всіх інших — комплекси-неелектроліти з ними, складу [SnCl $_4$ (HL)] п СН $_3$ СN (n = 1 (I), 2 (II); R = OH, R'= H) и [SnCl $_4$ (L·H)] п СН $_3$ СN (n = 0, 1; R = H, OH, R'= 4-N(CH $_3$ ) $_2$  (III-VI). У комплексах реалізується бідентатна О $_{(C=O/C-O)}$ , N( $_{(CH=N)}$  — координація кетонної (R' = H) або енольної, протонованої по третичному атому Нітрогену альдегідного фрагменту (R' = 4-N(CH $_3$ ) $_2$ ) форми ліганду. Деструкція I-VI починається дегідрохлоруванням, проте у разі I, II видалення хлору протікає в одну стадію в інтервалі 230-310 °C, а в разі III -VI — в дві і при більш високих температурах (280-310 і 320-405 °C). Досліджено поведінку I - VI під дією електронного удару. Ключові слова: кислота Льюїса (SnCl $_4$ ), гідразиди, гідразони, темплатна конденсація, координаційні сполуки.

### N. V. Shmatkova<sup>1</sup> I. I. Seifullina<sup>1</sup>, A. I. Divakova<sup>1</sup>, A. V. Mazepa<sup>2</sup>

I.I. Mechnikov Odessa National University, department of general chemistry and polymers, Dvoryanskaya St., 2, Odessa, 65026

<sup>2</sup>A.V. Bogatsky Physico-Chemical Institute of the National Academy of Sciences of Ukraine, Lustdorfskaya doroga, 86, Odessa, 65080, Ukraine.

# TEMPLATE CONDENSATION IN SYSTEMS SUCH AS «HYDRAZIDES – $SnCl_4$ – ALDEHYDES – $CH_3CN$ »

#### **Summary:**

The products of interaction in the systems «hydrazides of 2-R-benzoic, 3-R-2-naphthoic acids (R = H, OH) –  $SnCl_4$  – R'- benzoic aldehydes (R' = H, 4-N(CH<sub>3</sub>)<sub>2</sub>) – CH<sub>3</sub>CN» were studied and was found, that in the case of (R, R' = H) were isolated hydrazones (HL), while all the others – complexes, non-electrolytes with them [ $SnCl_4$ (HL)]·n CH<sub>3</sub>CN (n = 1 (I), 2 (II); R = OH, R'= H) and [ $SnCl_4$ (L·H)]·n CH<sub>3</sub>CN (n = 0, 1; R = H, OH, R'= 4-N(CH<sub>3</sub>)<sub>2</sub> (III-VI). In the complexes is realized bidentate  $O_{(C=O)/C-O)}$ ,  $N_{(CH=N)}$  – coordination of ketone (R' = H) or the enol, the protonated tertiary nitrogen atom of the aldehyde fragment (R' = 4-N(CH<sub>3</sub>)<sub>2</sub>) form of the ligand. Degradation of I-VI begins dehydrochlorination, but in case I, II removal of chlorine proceeds in one stage in the range of 230-310 °C and in the case of III-VI – in two stages at higher temperatures (280-310 and 320-405 °C). The behavior of I - VI under electron impact was investigated. Keywords: Lewis acid ( $SnCl_4$ ), tin (IV), hydrazides, hydrazones, template condensation, coordination compounds.